Datations radiocarbone et dendrochronologique

Objekttyp: **Chapter**

Zeitschrift: **Cahiers d'archéologie romande**

Band (Jahr): **142 (2013)**

PDF erstellt am: **27.05.2024**

Nutzungsbedingungen

Die ETH-Bibliothek ist Anbieterin der digitalisierten Zeitschriften. Sie besitzt keine Urheberrechte an den Inhalten der Zeitschriften. Die Rechte liegen in der Regel bei den Herausgebern.
Die auf der Plattform e-periodica veröffentlichten Dokumente stehen für nicht-kommerzielle Zwecke in Lehre und Forschung sowie für die private Nutzung frei zur Verfügung. Einzelne Dateien oder Ausdrucke aus diesem Angebot können zusammen mit diesen Nutzungsbedingungen und den korrekten Herkunftsbezeichnungen weitergegeben werden.
Das Veröffentlichen von Bildern in Print- und Online-Publikationen ist nur mit vorheriger Genehmigung der Rechteinhaber erlaubt. Die systematische Speicherung von Teilen des elektronischen Angebots auf anderen Servern bedarf ebenfalls des schriftlichen Einverständnisses der Rechteinhaber.

Haftungsausschluss

Alle Angaben erfolgen ohne Gewähr für Vollständigkeit oder Richtigkeit. Es wird keine Haftung übernommen für Schäden durch die Verwendung von Informationen aus diesem Online-Angebot oder durch das Fehlen von Informationen. Dies gilt auch für Inhalte Dritter, die über dieses Angebot zugänglich sind.

Ein Dienst der *ETH-Bibliothek*
ETH Zürich, Rämistrasse 101, 8092 Zürich, Schweiz, www.library.ethz.ch

http://www.e-periodica.ch

2. Datations radiocarbone et dendrochronologique

Anne Schopfer

Les figures 7 et 8 présentées aux pages suivantes illustrent l'ensemble des datations radiocarbone relatives aux occupations attribuées au Bronze final pour les sites d'Onnens-*Le Motti*, Onnens-*La Golette* et Onnens-*Beau Site*, ainsi que le résultat d'une analyse concernant une structure particulière provenant du site de Bonvillars-*Les Oux*, incluse dans ce volume (annexe 4). Une date obtenue dans une structure que nous estimions pouvoir appartenir à l'horizon Bronze final, mais dont le résultat couvre le Cortaillod classique et le Cortaillod moyen (n°23), est également présentée ici, puisqu'elle se rapporte à une période publiée dans un précédent volume (Schopfer Luginbühl *et al.* 2011).

Les échantillons analysés sont presque exclusivement constitués de fragments de charbon de bois[1] prélevés dans le remplissage des structures[2]. Une part importante de cette série d'analyses a donc été effectuée sur des échantillons de grandes dimensions provenant de structures de combustion comme des fosses-foyer (n°2, 6, 7, 14, 17), des foyers (n°3, 15) ou des rejets de foyer (n°4). Quelques datations concernent des trous de poteau – six, dont quatre inclus dans des ensembles organisés (n°11 et 20-22) et deux isolés (n°5 et 19) – et un troisième groupe comprend des fosses isolées (n°1, 12, 16) ou associées à des ensembles de trous de poteau (n°18). Enfin, une date correspond à un fossé mis au jour sur le site d'Onnens-*Le Motti* (n°8). Deux dates, relatives l'une à un trou de poteau et l'autre à des fragments de charbon recueillis dans des nodules d'argile cuite appartenant à un niveau de démolition, proviennent de structures attribuées au Premier âge du Fer et ne sont pas incluses dans les synthèses chronologiques des chapitres à venir (n°9 et 10).

Cet ensemble de 23 résultats complète celui présenté dans le premier ouvrage publié (Schopfer Luginbühl *et al.* 2011, fig. 44-45), dont les dates s'échelonnaient entre le Néolithique moyen (env. 4800-4500 av. J.-C.) et le Bronze moyen (env. 1700-1400 av. J.-C.). Il comprend une grande majorité de résultats dont les intervalles à 2σ se situent entre 1530 et 760 avant notre ère, soit entre le BzB et le HaC, mais également quelques résultats plus anciens. C'est le cas notamment pour un petit nombre de structures en creux (St. 9, 19 et 36) apparentées à l'occupation de *Beau Site* durant le BzD et dont les intervalles couvrent la fin du BzA et tout le BzB. Cette antériorité pourrait s'expliquer par une contamination provenant de la couche entamée lors du creusement de ces structures (chap. 3.1.3).

Les deux dates les plus anciennes (n°22-23) se détachent clairement des autres courbes de l'ensemble, mais s'intègrent parfaitement dans les séries du premier volume. Les autres résultats présentés dans la figure 8 se répartissent de façon homogène, sans qu'il soit réellement possible de distinguer de groupes. Avec les résultats de la première étude, l'on dispose ainsi d'une cinquantaine de dates radiocarbone antérieures au HaC, qui couvrent pratiquement sans interruption une période de près de 4000 ans. Une date dendrochronologique « pas antérieure à 995 av. J.-C. », mesurée sur un fragment de charbon issu d'une fosse-foyer à pierres chauffantes, vient compléter la fin de la séquence (Hurni *et al.* 2006c).

[1] Afin d'alléger les formulations, seul le mot « charbon » sera désormais utilisé dans le sens de « charbon de bois » et non pas de « charbon minéral ».

[2] Pour les structures St. 855 (n°8), St. 1032 (n°12) et St. 1036 (n°19), cependant, seules des paillettes recueillies par flottation étaient disponibles.

N°	Site	N°ETH	Contexte	Phase	AMS - ^{14}C BP	Age calibré BC 1σ	Age calibré BC 2σ	Période
1	GL	35043	St. 130	23	2660±55 BP	900-860 (15.3 %) 850-790 (52.9 %)	940-760 (95.4 %)	HaB2-HaC
2	MT	39544	St. 775	22	2755±40 BP	970-960 (1.7 %) 930-830 (66.5 %)	1000-820 (95.4 %)	HaB1-HaB3
3	MT	39542	St. 460	22	2760±40 BP	970-960 (4.9 %) 940-840 (63.3 %)	1010-820 (95.4 %)	HaB1-HaB3
4	BS	32409	St. 235	23	2765±50 BP	980-950 (9.7 %) 940-830 (58.5 %)	1020-800 (95.4 %)	HaB1-HaB3
5	GL	36548	St. 163	23	2775±40 BP	980-890 (53.6 %) 880-840 (14.6%)	1020-820 (95.4 %)	HaB1-HaB3
6	BS	32587	St. 135	23	2830±55 BP	1110-1100 (0.8 %) 1060-900 (67.4 %)	1160-1140 (1 %) 1130-830 (94.4 %)	HaA1-HaB3
7	BS	32586	St. 120	23	2845±50 BP	1110-1100 (2.6 %) 1090-920 (65.6 %)	1200-890 (95.4 %)	HaA1-HaB3
8	MT	35033	St. 855	22	2845±55 BP	1120-1100 (2.8 %) 1090-920 (65.4 %)	1210-890 (93.2 %) 880-840 (2.2 %)	BzD2-HaB3
9	MT	49191	St. 654	26	2872±28 BP	1120-1000 (68.2%)	1130-970 (91.0 %) 960-930 (4.4 %)	BzD2-HaB2
10	MT	49190	St. 931	26	2888±37 BP	1130-1000 (68.2%)	1210-970 (92.8 %) 960-930 (2.6 %)	BzD2-HaB2
11	BS	32408	St. 165	18	2895±55 BP	1200-1000 (68.2 %)	1260-920 (95.4 %)	BzD2-HaB2
12	MT	35037	St. 1032	22	2895±55 BP	1200-1000 (68.2 %)	1260-920 (95.4 %)	BzD2-HaB2
13	BS	41435	St. 37	18	2925±35 BP	1210-1050 (68.2 %)	1260-1010 (95.4 %)	BzD2-HaB1
14	BO	ARC97 R1981C	St. 4	/	2980±40 BP	1290-1120 (68.2 %)	1380-1330 (4.8 %) 1320-1050 (90.6)	BzD1-HaB1
15	BS	32411	St. 215	18	3010±50 BP	1380-1330 (12.5 %) 1320-1190 (53.2 %) 1150-1130 (2.4 %)	1410-1110 (95.4 %)	BzC2-HaA1
16	BS	32410	St. 287	18	3040±50 BP	1390-1250 (65.2 %) 1230-1210 (3 %)	1420-1120 (95.4%)	BzC2-HaA1
17	BS	32588	St. 137	18	3040±50 BP	1390-1250 (65.2 %) 1230-1210 (3.0 %)	1420-1120 (95.4 %)	BzC2-HaA1
18	BS	32407	St. 161	18	3130±55 BP	1500-1470 (4.7 %) 1460-1370 (51.9 %) 1350-1310 (11.6 %)	1510-1260 (95.4 %)	BzB récent-BzD2
19	MT	35038	St. 1036	22	3150±55 BP	1500-1380 (68.2 %)	1530-1290 (95.4 %)	BzB ancien-BzD1
20	BS	41433	St. 19	18	3215±35 BP	1515-1440 (68.2 %)	1610-1570 (4.3 %) 1540-1410 (91.1 %)	BzA2c-BzC2
21	BS	41434	St. 36	18	3250±35 BP	1610-1570 (16.4 %) 1540-1490 (39.2 %) 1480-1450 (12.7 %)	1620-1440 (95.4 %)	BzA2c-BzC1
22	BS	41432	St. 9	18	3650±35 BP	2120-2090 (14.3 %) 2040-1950 (53.9 %)	2140-1920 (95.4 %)	BzA1-BzA2a
23	MT	41050	St. 63	12	4950±40 BP	3770-3690 (59.5 %) 3680-3660 (8.7 %)	3900-3880 (1.8 %) 3800-3640 (93.6 %)	Néolithique moyen II

Fig. 7. Tableau synthétique des datations par radiocarbone antérieures au HaC pour le versant occidental de la colline d'Onnens (voir Hurni *et al.* 2006a et b, 2008a, b et c et 2010; Tercier 2010a et 2010b; Hurni 2013).
GL = *La Golette;* MT = *Le Motti;* BS = *Beau Site;* BO = *Les Oux*. La colonne « phase » renvoie au tableau récapitulatif du chapitre 1.

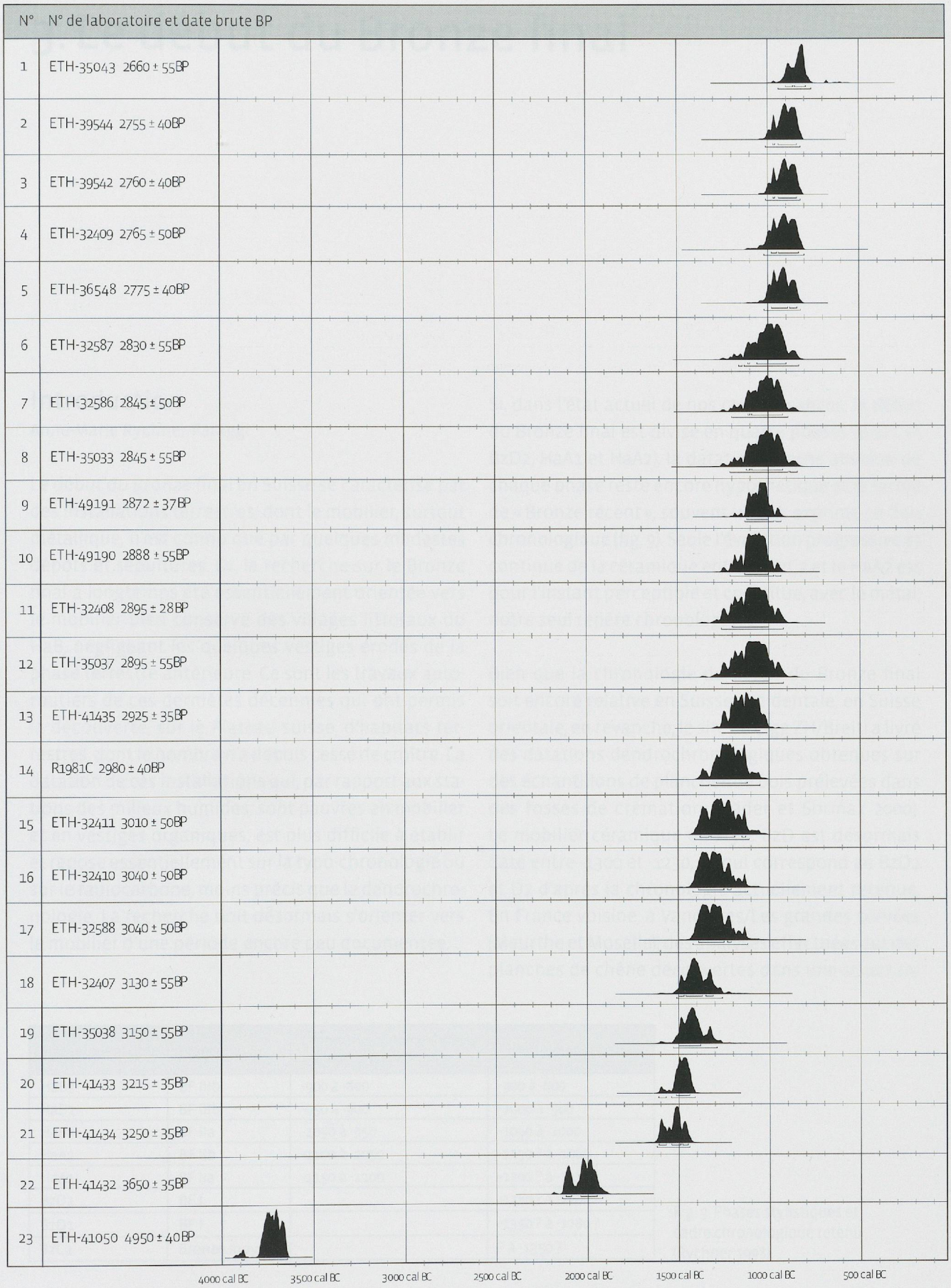

Fig. 8. Graphiques des probabilités des dates présentées fig. 7. Programme OxCal v3.10 (Bronk Ramsey 2005); cub r:5 sd:12 prob usp [chron]; d'après Reimer *et al.* 2004.